

MÉTODO DOS ELEMENTOS FINITOS APLICADO À MECÂNICA DA FRATURA¹

Afonso Henrique Sobreira de Oliveira²

Marcílio Sousa da Rocha Freitas³

Luiz Antonio de Souza⁴

Nelson Francisco Favilla Ebecken⁵

Resumo

Neste trabalho, avaliam-se alguns modelos de análise de propagação de trincas em estruturas planas e axissimétricas pelo Método dos Elementos Finitos (MEF). Os parâmetros da Mecânica da Fratura obtidos para avaliar a instabilidade da trinca são: o fator de intensidade de tensão K , a integral J e a taxa de dissipação de energia na trinca G . Na Mecânica da Fratura Elasto-Plástica (MFEP) obtém-se este último parâmetro através do Método Implícito da Extensão Virtual da Trinca (MIEVT). Através de aplicações, faz-se um estudo comparativo entre os parâmetros em questão.

Palavras-Chaves

Método dos Elementos Finitos
Mecânica da Fratura Linear Elástica
Mecânica da Fratura Elasto- Plástica

I. INTRODUÇÃO

Atualmente, a seleção de materiais empregados na engenharia na obtenção de sistemas estruturais não é realizada apenas em função dos níveis de tensões, mas também para tolerar defeitos decorrentes de fratura.

Desta forma, quando se analisa uma estrutura sujeita a trincas, é importante a determinação de parâmetros que possam monitorar o comportamento destas. Na Mecânica da Fratura Linear Elástica (MFLE), um dos principais parâmetros é o fator de intensidade de tensão K , que é uma grandeza utilizada para quantificar o nível de tensão na ponta da trinca e depende basicamente do carregamento e da geometria. Outros importantes parâmetros da MFLE são: a integral J e a taxa de

¹ I SEMINÁRIO DE MECÂNICA DA FRATURA

² Dpto. de Projetos e Construção Civil - UNESP - Campus de Guaratinguetá

³ Dpto. de Engenharia Civil - Escola de Minas - UFOP

⁴ Instituto Politécnico do Rio de Janeiro - UERJ

⁵ Programa de Engenharia Civil - COPPE - UFRJ

liberação de energia potencial G . Através destes é possível obter-se o fator de intensidade de tensão K utilizando-se relações desenvolvidas por Irwin [1].

A determinação de K de forma analítica só é viável em algumas situações. Com a diversidade e complexidade de geometria e carregamento apresentadas na maioria dos problemas práticos tornou-se necessária a utilização de métodos numéricos, dentre os quais o Método dos Elementos Finitos tem sido o mais utilizado para este fim.

A integral e a taxa de liberação de energia potencial G são também utilizados na Mecânica da Fratura Elasto-Plástica (MFEP). Para a determinação deste último parâmetro é utilizado o Método Implícito da Extensão Virtual da Trinca (MIEVT).

II. MÉTODOS NUMÉRICOS APLICADOS À MFLE

II.1 INTRODUÇÃO

Nas últimas décadas, o método dos elementos finitos tornou-se uma técnica numérica bastante utilizada na solução de problemas da mecânica da fratura, principalmente quando a obtenção da solução analítica do referido problema tornava-se impraticável. Alguns métodos têm sido empregados (Owen e Fawkes [2]), direta ou indiretamente, na obtenção do fator de intensidade de tensão K . Este podem ser divididos basicamente em três grupos:

- Método da extrapolação de deslocamentos
- Métodos energéticos (Método da taxa de energia de deformação liberada e Método da extensão virtual da trinca)
- Método da integral J

Estudos iniciais envolvendo o uso do método dos elementos finitos em Mecânica da Fratura empregaram elementos convencionais de tensão constante e notou-se a necessidade de malhas extremamente refinadas na vizinhança da ponta da trinca com o objetivo de representar, com uma precisão satisfatória, a singularidade dos campos de tensão e deformação na referida região.

O desenvolvimento de elementos de alta ordem, tal como os elementos isoparamétricos, permitiu que a mesma ordem de precisão fosse obtida com malhas menos refinadas. Com o objetivo de melhorar a representação dos campos de tensão e deformação na ponta da trinca, foram criados alguns elementos especiais para serem utilizados nessas regiões. Porém, com o aparecimento dos elementos *quarter-point*, desenvolvidos por Henshell e Shaw [3], tornou-se desnecessária a utilização dos elementos especiais acima citados.

II.2 - MÉTODO DE EXTRAPOLAÇÃO DE DESLOCAMENTO

Com o auxílio da teoria da elasticidade e de funções de tensões com variáveis complexas, é possível estabelecer o campo de tensões e deslocamentos na vizinhança da ponta da trinca. A partir desta equações pode-se obter as seguintes expressões que relacionam os fatores de intensidade de tensão e deslocamentos:

$$K_I \begin{Bmatrix} (2\kappa - 1) \cos(\theta/2) - \cos(3\theta/2) \\ (2\kappa + 1) \sin(\theta/2) - \sin(3\theta/2) \end{Bmatrix} = 4\mu \sqrt{\frac{2\pi}{r}} \begin{Bmatrix} u \\ v \end{Bmatrix} \quad (1)$$

$$K_{II} \begin{Bmatrix} -(2\kappa + 3) \sin(\theta/2) - \sin(3\theta/2) \\ (2\kappa - 3) \cos(\theta/2) + \cos(3\theta/2) \end{Bmatrix} = 4\mu \sqrt{\frac{2\pi}{r}} \begin{Bmatrix} u \\ v \end{Bmatrix} \quad (2)$$

Obtendo-se os deslocamentos u e v , via análise em elementos finitos, e substituindo-se esses valores nas expressões acima, pode-se calcular os valores de K_I e K_{II} para diversos pontos nodais variando-se r , para um determinado valor de θ . Elaborando-se um gráfico de K_I ou K_{II} versus r , descartando-se os resultados relativos a pontos próximos à ponta da trinca e extrapolando-se a solução para $r = 0$, encontra-se o valor aproximado do fator de intensidade de tensão desejado, como mostrado na Figura 1. Para este tipo de análise pode-se utilizar, na ponta da trinca, elementos convencionais ou elementos *quarter-point*.

II.3 - MÉTODO DA TAXA DE ENERGIA DE DEFORMAÇÃO LIBERADA

Considera-se uma trinca de comprimento a , aumentando-se este comprimento com um incremento δa causa-se uma liberação de energia de deformação δU . Como já definido anteriormente, a taxa de energia de deformação liberada (G) é dada pela razão entre δU e δa , ou seja, $G = \delta U / \delta a$.

A obtenção de G , em termos práticos, dá-se através de duas análises via elementos finitos para dois comprimentos de trinca que diferem de δa . Para cada configuração é calculada a energia de deformação correspondente através da seguinte expressão:

$$U = \mathbf{u}' \mathbf{K} \mathbf{u} \quad (3)$$

onde \mathbf{u} é o vetor global de deslocamentos e \mathbf{K} a matriz de rigidez global. Sabendo-se que o produto $\mathbf{K}\mathbf{u}$ representa o vetor global de cargas aplicadas \mathbf{f} , pode-se representar a equação (3) da seguinte forma:

$$U = \mathbf{u}' \mathbf{f} \quad (4)$$

Obtida a energia de deformação para cada configuração de comprimento de trinca, pode-se calcular facilmente δU pela diferença entre as energias em cada configuração. Desta forma torna-se possível a obtenção de G , e utilizando-se as equações de Irwin, que relaciona G com K , obtêm-se os fatores de intensidade de tensão.

II.4 - MÉTODO DA EXTENSÃO VIRTUAL DA TRINCA

Parks [4] e Hellen [5], na década de 70, propuseram uma variante do método da taxa de energia de deformação liberada, o método da extensão virtual da trinca.

Considera-se um pequeno incremento virtual Δa no comprimento da trinca, sem variação na carga externa. A energia potencial total é expressa por:

$$\Pi = \frac{1}{2} \mathbf{u}' \mathbf{K} \mathbf{u} - \mathbf{u}' \mathbf{f} \quad (5)$$

Variando Π em relação à carga constante, obtém-se:

$$\delta \Pi = \frac{1}{2} \mathbf{u}' \delta \mathbf{K} \mathbf{u} + \delta \mathbf{u}' \mathbf{K} \mathbf{u} - \delta \mathbf{u}' \mathbf{f} - \mathbf{u}' \delta \mathbf{f} \quad (6)$$

mas sabe-se que $\mathbf{K} \mathbf{u} = \mathbf{f}$, então

$$\delta \Pi = \frac{1}{2} \mathbf{u}' \delta \mathbf{K} \mathbf{u} - \mathbf{u}' \delta \mathbf{f} \quad (7)$$

Considerando que o carregamento é devido a forças aplicadas fora dos elementos da ponta da trinca, o vetor $\delta \mathbf{f}$ é nulo, assim o segundo termo da expressão acima desaparece, passando $\delta \Pi$ ser expresso por:

$$\delta \Pi = \frac{1}{2} \mathbf{u}' \delta \mathbf{K} \mathbf{u} \quad (8)$$

Portanto,

$$G = - \frac{d\Pi}{da} = - \frac{1}{2} \mathbf{u}' \left[\frac{\partial \mathbf{K}}{\partial a} \right] \mathbf{u} \quad (9)$$

A matriz de variação de rigidez $\delta \mathbf{K}$ é nula para todos os elementos que não contêm a ponta da trinca, desde que apenas há mudança de geometria na ponta da trinca. Portanto $\delta \mathbf{K}$ recebe apenas contribuições dos elementos que contêm a mesma. Desta forma, conhecido o vetor \mathbf{u} e montando-se a matriz total $\delta \mathbf{K}$, pode-se calcular G no final de uma análise simples. Este procedimento torna-se mais econômico que utilizar duas análises em elementos finitos para duas configurações distintas de comprimento de trinca, onde G é calculado pela razão entre a diferença de energia de deformação liberada para cada uma das configurações e o incremento dado no comprimento de trinca.

Vale salientar que cuidados devem ser tomados na escolha do incremento de comprimento de trinca a fim de se evitar perda de precisão na obtenção do parâmetro G .

II.5 - MÉTODO DA INTEGRAL J

A integral J é um parâmetro da mecânica da fratura que pode ser calculado a partir da seguinte expressão:

$$J = \int_{\Gamma} \left(U dy - \mathbf{t}_i \frac{\partial \mathbf{u}_i}{\partial x} ds \right) \quad (10)$$

onde

U = energia de deformação por unidade de volume

\mathbf{t}_i = vetor de tração normal e exterior ao contorno

$$\mathbf{t}_i = \sigma_{ij} \mathbf{n}_j \quad (11)$$

\mathbf{u}_r = vetor de deslocamento
 ds = elemento do contorno Γ
 Γ = contorno fechado

Desde que a integral J é independente do caminho adotado, este pode ser convenientemente escolhido de tal maneira que coincida com a linha $\xi = \xi_r = \text{constante}$, como mostrado na Figura 2. Desenvolvendo-se a expressão (10) obtém-se, para estado plano, a seguinte expressão:

$$\begin{aligned}
 J^{(c)} = \int_{-1}^{+1} & \left\{ \frac{1}{2} (\sigma_{11} \varepsilon_{11} + 2\sigma_{12} \varepsilon_{12} + \sigma_{22} \varepsilon_{22}) \frac{\partial y}{\partial \eta} \right. \\
 & \left. - \left[(\sigma_{11} n_1 + \sigma_{12} n_2) \frac{\partial u}{\partial x} + (\sigma_{12} n_1 + \sigma_{22} n_2) \frac{\partial v}{\partial x} \right] \sqrt{\left(\frac{\partial x}{\partial \eta} \right)^2 + \left(\frac{\partial y}{\partial \eta} \right)^2} \right\} d\eta \quad (12)
 \end{aligned}$$

e para estado axissimétrico,

$$\begin{aligned}
 J^{(c)} = \int_{-1}^{+1} & \left\{ \frac{1}{2} (\sigma_{11} \varepsilon_{11} + 2\sigma_{12} \varepsilon_{12} + \sigma_{22} \varepsilon_{22} + \sigma_{33} \varepsilon_{33}) \frac{\partial y}{\partial \eta} \right. \\
 & \left. - \left[(\sigma_{11} n_1 + \sigma_{12} n_2) \frac{\partial u}{\partial x} + (\sigma_{12} n_1 + \sigma_{22} n_2) \frac{\partial v}{\partial x} \right] \sqrt{\left(\frac{\partial x}{\partial \eta} \right)^2 + \left(\frac{\partial y}{\partial \eta} \right)^2} \right\} d\eta \quad (13)
 \end{aligned}$$

onde

$$\varepsilon_{11} = \frac{1}{E} [\sigma_{11} - \nu (\sigma_{22} + \sigma_{33})]$$

$$\varepsilon_{22} = \frac{1}{E} [\sigma_{22} - \nu (\sigma_{11} + \sigma_{33})]$$

$$\varepsilon_{12} = \frac{2(1-\nu)}{E} \sigma_{12}$$

e para estado axissimétrico

$$\varepsilon_{33} = \frac{1}{E} [\sigma_{33} - \nu (\sigma_{11} + \sigma_{22})]$$

Pode-se notar que calculadas as tensões e deformações, por um programa padrão de elementos finitos, facilmente obtém-se a integral J . Normalmente calcula-se J para distintos caminhos e posteriormente toma-se seu valor médio.

III. MÉTODOS NUMÉRICOS APLICADOS À MFEP

III.1 INTRODUÇÃO

Na Mecânica da Fratura Elasto-Plástica (MFEP), a utilização de K perde o sentido devido à zona plástica formada na ponta da trinca e, neste caso, são utilizados outros parâmetros no monitoramento da trinca, tais como: o COD (Crack Opening Displacement), que é o deslocamento plástico medido na ponta da trinca, a integral J e G , anteriormente citados. Valores críticos para esses parâmetros são obtidos experimentalmente para cada tipo de material.

Para Mecânica da Fratura Não-linear, o principal caso de interesse é para materiais elasto-plásticos. A obtenção de G pelo método da extensão virtual da trinca requer a realização de duas análises para dois comprimentos de trinca que diferem de Δa . Neste caso a obtenção de G torna-se onerosa, principalmente quando requer uma análise não-linear. Um novo procedimento para este método foi apresentado, o Método Implícito da Extensão Virtual da Trinca (MIEVT), que possibilita a obtenção de G com apenas uma análise. Isto é conseguido através de uma minimização direta da energia potencial.

O Método da Extensão Virtual da Trinca (MEVT) usando a minimização direta de energia foi usada por Haber e Koh [6] para modos mistos da MFLE, e por Sussman e Bathe [7] também para MFLE. Ambos utilizaram elementos bidimensionais. Hellen [8] estendeu esta aproximação básica a materiais com comportamento elasto-plástico incremental, com a hipótese requerida de resposta não-linear elástica, com carregamento monotonicamente crescente e com tipos arbitrários de elementos na ponta da trinca, incluindo formulações especiais de singularidade. Esta também cobre o caso tridimensional.

III.2 INTEGRAL J NA MFEP

A integral J , como anteriormente mostrada, é definida pela equação (10).

Tomando-se um carregamento monotônico, torna-se válida a aproximação de identificar o comportamento elástico não-linear com o comportamento plástico. Desta forma torna-se possível a utilização de um programa comum de elementos finitos que efetua análise não-linear de estruturas em regime elasto-plástico, como mostrado em Owen e Fawkes [2], para obtenção do parâmetro integral J .

Para aplicações elasto-plásticas, a densidade de energia de deformação U pode ser decomposta em duas parcelas, uma elástica e outra plástica, ou seja:

$$U = U_E + U_P \quad (14)$$

sendo U_E definido por:

$$U_E = \frac{1}{2} \sigma_y (\varepsilon_y)_E \quad (15)$$

onde

$$(\varepsilon_y)_E = \text{componente elástica de deformação}$$

A parcela plástica U_p é definida por:

$$U_p \equiv \int_0^{\bar{\epsilon}_p} \bar{\sigma} d\bar{\epsilon}_p \quad (16)$$

onde

$\bar{\sigma}$ = tensão efetiva

$\bar{\epsilon}_p$ = deformação plástica efetiva

O valor de U_p é obtido acumulando-se contribuições de incrementos de trabalho $\bar{\sigma} d\bar{\epsilon}_p$ ao longo do caminho de deformações. Como a tensão efetiva $\bar{\sigma}$ e o incremento de deformação plástica $d\bar{\epsilon}_p$ são avaliados durante cada incremento de carga no programa de análise elasto-plástica utilizado, o cálculo de U_p torna-se uma operação trivial.

Efetua-se análise não-linear de estruturas planas ou sólidos axissimétricos em regime elasto-plástico, utilizando-se para discretização espacial o método dos elementos finitos com uma formulação baseada em deslocamentos, com elementos bi-dimensionais isoparamétricos de oito nós com funções da família Serendipity.

A análise é feita de forma incremental, com a possibilidade de utilização dos algoritmos: "initial stress approach", Newton-Raphson e Newton-Raphson Modificado. O critério elasto-plástico pode ser descrito pelos critérios de Von-Mises ou Tresca.

Para problemas planos, a parcela elástica da densidade de energia de deformação pode ser escrita como:

$$U_E = \frac{1}{2} [\sigma_{11} (\epsilon_{11})_E + 2\sigma_{12} (\epsilon_{12})_E + \sigma_{22} (\epsilon_{22})_E] \quad (17)$$

e para problemas axissimétricos,

$$U_E = \frac{1}{2} [\sigma_{11} (\epsilon_{11})_E + 2\sigma_{12} (\epsilon_{12})_E + \sigma_{22} (\epsilon_{22})_E + \sigma_{33} (\epsilon_{33})_E] \quad (18)$$

Desta forma as equações (11) e (12) apresentar-se-ão, respectivamente, da seguinte forma:

$$J^{(e)} = \int_{-1}^{+1} \left\{ \frac{1}{2} (\sigma_{11} (\epsilon_{11})_E + 2\sigma_{12} (\epsilon_{12})_E + \sigma_{22} (\epsilon_{22})_E) \frac{\partial y}{\partial \eta} + U_p \frac{\partial y}{\partial \eta} \right. \\ \left. - \left[(\sigma_{11} n_1 + \sigma_{12} n_2) \frac{\partial u}{\partial x} + (\sigma_{12} n_1 + \sigma_{22} n_2) \frac{\partial v}{\partial x} \right] \sqrt{\left(\frac{\partial x}{\partial \eta} \right)^2 + \left(\frac{\partial y}{\partial \eta} \right)^2} \right\} d\eta \quad (19)$$

$$J^{(o)} = \int_{-1}^{+1} \left\{ \frac{1}{2} (\sigma_{11} (\varepsilon_{11})_E + 2\sigma_{12} (\varepsilon_{12})_E + \sigma_{22} (\varepsilon_{22})_E + \sigma_{33} (\varepsilon_{33})_E) \frac{\partial y}{\partial \eta} + U_r \frac{\partial y}{\partial \eta} \right. \\ \left. - \left[(\sigma_{11} n_1 + \sigma_{12} n_2) \frac{\partial u}{\partial x} + (\sigma_{12} n_1 + \sigma_{22} n_2) \frac{\partial v}{\partial x} \right] \sqrt{\left(\frac{\partial x}{\partial \eta} \right)^2 + \left(\frac{\partial y}{\partial \eta} \right)^2} \right\} d\eta \quad (20)$$

onde

$$(\varepsilon_{11})_E = \frac{1}{E} [\sigma_{11} - \nu(\sigma_{22} + \sigma_{33})]$$

$$(\varepsilon_{22})_E = \frac{1}{E} [\sigma_{22} - \nu(\sigma_{11} + \sigma_{33})]$$

$$(\varepsilon_{12})_E = \frac{2(1-\nu)}{E} \sigma_{12}$$

e para sólido axissimétrico,

$$(\varepsilon_{33})_E = \frac{1}{E} [\sigma_{33} - \nu(\sigma_{11} + \sigma_{22})]$$

III.3 MÉTODO IMPLÍCITO DA EXTENSÃO VIRTUAL DA TRINCA

A taxa de dissipação de energia na trinca, denominada G , é outro parâmetro bastante utilizado na Mecânica da Fratura. Para seu cálculo tem-se usado uma técnica de caráter numérico, o Método da Extensão Virtual da Trinca, que utiliza o Método dos Elementos Finitos como ferramenta. Esta tem-se mostrado bastante eficiente e precisa na resolução de problemas em regime linear-elástico.

Para obtenção de G o referido método requer a realização de duas análises por elementos finitos para dois comprimentos de trinca que diferem de Δa , onde G é dado por:

$$G = -\frac{\partial \Pi}{\partial a} \approx -\frac{\Delta \Pi}{\Delta a} \quad (21)$$

Vale ainda salientar que alguns cuidados devem ser tomados na escolha de Δa para que não haja perda de precisão na obtenção do parâmetro G .

Com o objetivo de avaliar G em uma única etapa e sem perda de precisão, um novo procedimento para o Método da Extensão Virtual da Trinca foi apresentado por Hellen [8], o Método Implícito da Extensão Virtual da Trinca (MIEVT). Este procedimento utiliza uma minimização direta de energia potencial, que é componente essencial na teoria dos elementos finitos em análise de tensões.

Usualmente, a energia potencial Π é minimizada em relação aos graus de liberdade de deslocamento, porém como Π pode ser expressa como uma função de outras variáveis, pode-se então minimizar Π , por exemplo, em relação ao comprimento da trinca.

A energia potencial total é dada por:

$$\Pi = \sum_j W_j - \mathbf{u}' \mathbf{F} \quad (22)$$

onde

\mathbf{F} = vetor de forças

\mathbf{u} = vetor de deslocamentos

W_j = energia de deformação acumulada em cada ponto j

$$W_j = \sum_i \Delta W_{ij} \Delta V_j \quad (23)$$

onde ΔV_j é o volume representado pelo ponto j , e i indica acumulação sobre a história do carregamento.

Como $W_j = W_j(u, x)$ é uma função dos deslocamentos e da geometria, a primeira variação da energia potencial total é dada por:

$$\delta \Pi = \delta \mathbf{u}' \frac{\partial \Pi}{\partial \mathbf{u}} + \delta \mathbf{x}' \frac{\partial \Pi}{\partial \mathbf{x}} \quad (24)$$

ou

$$\delta \Pi = \delta \mathbf{u}' \left[\sum_j \frac{\partial W_j}{\partial \mathbf{u}} - \mathbf{F} \right] + \delta \mathbf{x}' \left[\sum_j \frac{\partial W_j}{\partial \mathbf{x}} - \frac{\partial \mathbf{F}'}{\partial \mathbf{x}} \mathbf{u} \right] \quad (25)$$

O primeiro termo da equação (25) é nulo, ou devido a $\delta \mathbf{u}'$ ser zero nos nós com graus de liberdade restritos ou devido ao termo entre colchetes ser nulo por causa do equilíbrio. Desta forma, tem-se:

$$\delta \Pi = \delta \mathbf{x}' \left[\sum_j \frac{\partial W_j}{\partial \mathbf{x}} - \frac{\partial \mathbf{F}'}{\partial \mathbf{x}} \mathbf{u} \right] \quad (26)$$

Para extensões na vizinhança da ponta da trinca ∂F é invariavelmente nulo, portanto o segundo termo pode ser ignorado. Considera-se que não haja variação em F , obtém-se:

$$\frac{\delta \Pi}{\delta a} = \sum_j \frac{\partial W_j}{\partial a} \quad (27)$$

Este somatório afeta apenas os elementos da ponta da trinca, pois nos demais $\partial W / \partial a$ é zero.

Utilizando-se transformações, similares às utilizadas na teoria de elemento isoparamétrico, do espaço real V para o espaço adimensional V_0 , tem-se para qualquer \mathbf{x} :

$$\frac{\partial W_j}{\partial \mathbf{x}} = \int_{V_0} \left(\frac{\partial W}{\partial \mathbf{x}} |J| + W \frac{\partial |J|}{\partial \mathbf{x}} \right) \quad (28)$$

onde

$|J|$ = determinante da matriz de transformação jacobiana $[J]$

e para materiais homogêneos linear ou não-linear elástico,

$$\frac{\partial W}{\partial \mathbf{x}} = \frac{\partial W}{\partial \varepsilon_{kl}} \frac{\partial \varepsilon_{kl}}{\partial \mathbf{x}} = \sigma_{kl} \frac{\partial \varepsilon_{kl}}{\partial \mathbf{x}} \quad (29)$$

Assumindo-se que o grau de liberdade a ser perturbado em Π seja x_i^n , a i -ésima componente do nó n , então:

$$G = -\frac{\partial W}{\partial x_i^n} = -\int_{V_0} \left\{ \frac{\partial W}{\partial x_i^n} |J| + W \frac{\partial |J|}{\partial x_i^n} \right\} dV \quad (30)$$

ou

$$G = -\frac{d\Pi}{dx_i^n} = -\int_{V_0} \left\{ W \frac{\partial h_n}{\partial x_i} - \frac{1}{2} \sigma_{kl} \left(\frac{\partial u_k}{\partial x_i} \frac{\partial h_n}{\partial x_l} + \frac{\partial u_l}{\partial x_i} \frac{\partial h_n}{\partial x_k} \right) \right\} |J| dV \quad (31)$$

IV. EXEMPLOS

IV.1 CHAPA TRACIONADA

Apresenta-se este exemplo com o objetivo de comparar os resultados obtidos utilizando-se os métodos da MFLE, apresentados neste trabalho, na obtenção do fator de intensidade K . Analisa-se uma chapa tracionada em suas extremidades com uma trinca central de comprimento $2a$ (Figura 3). Esta chapa está sujeita ao modo I de trincamento. As características físicas e geométricas da chapa são:

- comprimento da chapa: $L = 500$ mm
- largura da chapa: $2W = 200$ mm
- comprimento da trinca: $2a = 80$ mm
- espessura da chapa: $t = 1$ mm
- módulo de elasticidade: $E = 10000$ N/mm²
- coeficiente de Poisson: $\nu = 0.3$
- carregamento de tração: $\sigma = 100$ N/mm²

Utilizando-se da simetria da geometria e do carregamento, discretiza-se apenas um quarto da chapa. A malha de discretização apresenta-se na Figura 4.

O valor teórico mostrado na Tabela 1 foi obtido utilizando uma expressão apresentada por Rooke [9], definida por:

$$K_I = \left(\frac{1 - 0.5(a/b) + 0.326(a/b)^2}{\sqrt{1 - (a/b)}} \right) \sigma \sqrt{\pi a} \quad (32)$$

Usando-se a Equação (1) obtém-se os gráficos K_I x r apresentados na Figura 5, para $\theta = 180^\circ$, utilizando elementos convencionais e elementos *quarter-point* na ponta da trinca. Utilizando-se os resultados mostrados na Figura 5 extrapolam-se

retas para obtenção do valor de K_I em $r=0$. Vale salientar que os dois pontos mais próximos do eixo vertical não são considerados na extrapolação das retas. Os valores extrapolados para $r=0$ são mostrados na Tabela 1.

Em relação ao método da taxa de energia de deformação armazenada, foram adotados dois diferentes incrementos no comprimento de trinca para obtenção de K_I . Utilizando esses resultados e extrapolando-se por uma reta, obtém-se o valor de K_I para o tamanho original do comprimento de trinca (Figura 6), este apresenta-se na Tabela 1.

Para obtenção de K_I através do método da extensão virtual de trinca, adotou-se um incremento de trinca $\delta a = 0.001$ na direção x .

Para o cálculo da integral J, foram utilizados quatro diferentes caminhos de integração, e adotou-se seu valor médio para a obtenção de K_I , apresentado na Tabela 1.

IV.2 CORPO DE PROVA

Apresentam-se os resultados da análise do corpo de prova (C.P.) mostrado na Figura 7, para qual calculou-se a integral J e G pelo MIEVT e possibilitando-se assim uma posterior comparação de resultados obtidos através dos distintos métodos. A carga total de 18 KN foi aplicada através de dez incrementos. A curva tensão-deformação do material não-linear é mostrada na Figura 8. O coeficiente de Poisson do material é igual a 0.33.

Devido à simetria de geometria e de carregamento, discretizou-se apenas metade do C.P., com 50 elementos quadráticos de 8 nós, em estado plano de tensão. A malha de discretização utilizada é mostrada na Figura 9.

Apresentam-se, na Figura 10 a variação da integral J e G em função da carga aplicada e, na Figura 11, em relação à metade do deslocamento medido entre os pontos A e B da Figura 7 ($\delta_{AB}/2$). Através destas figuras nota-se uma boa concordância de resultados entre estes dois parâmetros, o mesmo ocorrendo quando comparados com resultados experimentais mostrados em Bleackley [10].

IV.3 CILINDRO TRACIONADO

Analisa-se um cilindro tracionado em suas extremidades com uma trinca localizada na face exterior de comprimento a , a uma distância $L/2$ das extremidades, como mostrado na Figura 12. Devido à geometria da estrutura e ao seu carregamento, pode-se considerar a mesma sob estado axissimétrico. As características físicas e geométricas do cilindro são:

comprimento do cilindro: $L = 500$ mm

diâmetro do cilindro: $D = 200$ mm

comprimento da trinca: $a = 40$ mm

coeficiente de Poisson: $\nu = 0.33$

A tensão σ total de 360N/mm^2 foi aplicada em 15 incrementos. Considerou-se a mesma curva tensão-deformação utilizada pelo exemplo 2, ou seja, a curva mostrada na Figura 8.

Apresenta-se na Figura 13 a variação da integral J e G em função da tensão aplicada. Nota-se através desta uma boa concordância entre os dois parâmetros analisados.

Apresentam-se na Figura 14 a malha de discretização adotada. Vale ainda salientar que devido à simetria da estrutura e carregamento discretizou-se apenas metade do cilindro, em 35 elementos quadráticos de 8 nós.

V. CONCLUSÕES

O trabalho aborda a aplicação do Método dos Elementos Finitos à Mecânica da Fratura e este mostrou-se uma ferramenta bastante eficiente na obtenção de parâmetros da MFLE e da MFEP, através dos diversos métodos numéricos aqui apresentados.

Os elementos *quarter-point* na ponta da trinca são de fácil utilização e apresentam bons resultados.

Os métodos aqui mostrados que necessitam de duas análises em elementos finitos requerem um tempo computacional significativamente superior aos que necessitam de apenas uma análise, pois o tempo requerido no cálculo dos parâmetros da Mecânica da Fratura é insignificante quando comparado ao de uma análise, isto torna-se cada vez mais acentuado a medida que cresce o número de elementos da malha de discretização.

Os resultados da taxa de dissipação de energia, G, obtidos pelo MIEVT apresentaram-se bastante próximos aos da integral J, como pode ser visto nas Figuras 10 e 13. Vale salientar que o tempo envolvido na obtenção dos parâmetros acima citados é significativamente inferior ao tempo gasto para se conseguir o equilíbrio para cada incremento de carga numa análise não-linear.

O uso do MIEVT abre novos horizontes para o estudo da mecânica da fratura, pois elimina a necessidade de dupla análise, reduzindo significativamente o tempo computacional requerido, e a possibilidade de perda de precisão na obtenção de G utilizando-se a expressão (21), quando feita uma má escolha de $\Delta\alpha$. Vale ainda salientar como outra vantagem do MIEVT a possibilidade de obtenção de G em análise de trincas utilizando modelos tridimensionais.

VI. REFERÊNCIAS BIBLIOGRÁFICAS

- [1] Irwin, G. R. 1948. "Analysis of Stresses and Strains Near the End of a Crack Traversing a Plate", Journal of Applied Mechanics, 24, pp.361-364, 1957.
- [2] Owen, D.R.J. e Fawkes, A.J. "Engineering Fracture Mechanics: Numerical Methods and Applications". Pineridge Press Ltd. - U.K, 1983.
- [3] Henshell, R.D. e Shaw, K.G. "Crack Tip Elements Are Unnecessary". Int. J. Num. Meth. Engng. , vol. 9, 495-509, 1975.

- [4] Parks, D.M. "A Stiffness Derivative Finite Element Technique for Determination of Elastic Crack tip Stress Intensity Factors". Int. J. Fracture, vol. 10, No. 4, 487-502, 1974.
- [5] Hellen, T.K. "On the Method of Virtual Crack Extensions". Int. J. Num. Meth. Engng., vol. 9, No. 1, 187-208, 1975.
- [6] Haber, R.B. e Koh, H.M. "Explicit Expressions for Energy Release Rates Using Virtual Crack Extensions". International Journal Num. Methods Eng., vol. 21, 301-315, 1985.
- [7] Sussman, T. e Bathe, K.J. "The Gradient of the Finite Element Variational Indicator with Respect to Nodal Polar Coordinates". International Journal Num. Methods Eng., vol. 21, 763-774, 1985.
- [8] Hellen, T.K. "Virtual Crack Extension Methods for Non-linear Materials". International Journal Num. Methods Eng., vol. 28, 929-942, 1989.
- [9] Rooke, D.P. e Cartwright, D.J. "Compendium of Stress Intensity Factors". H.M.S.O, 1974.
- [10] Bleackley, M.H. "A Numerical Study of Energy Criteria in Fracture Mechanics". Tese de Ph.D. - Universidade de Gales, 1981.

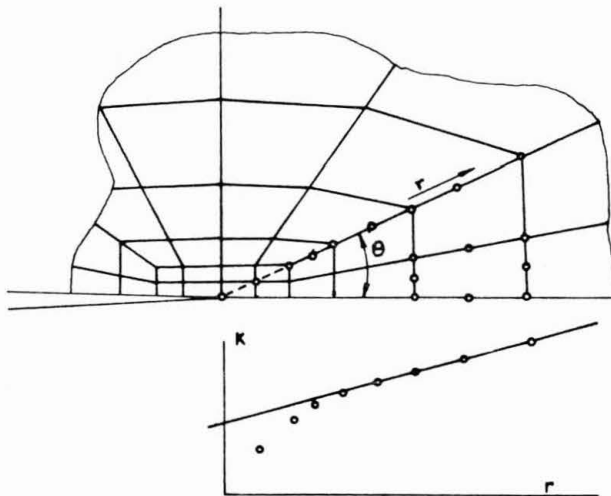


Figura 1 - Avaliação do Fator de Intesidade de Tensão K por Extrapolação

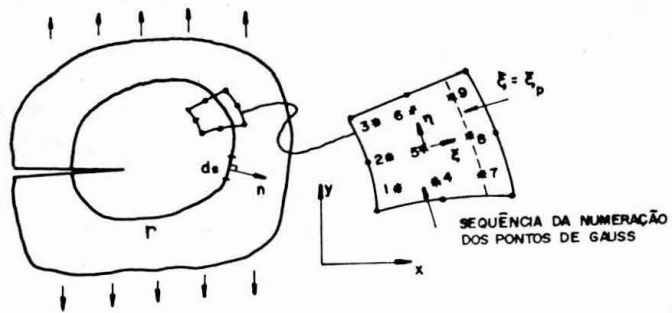


Figura 2 - Caminho Adotado no Cálculo da Integral J

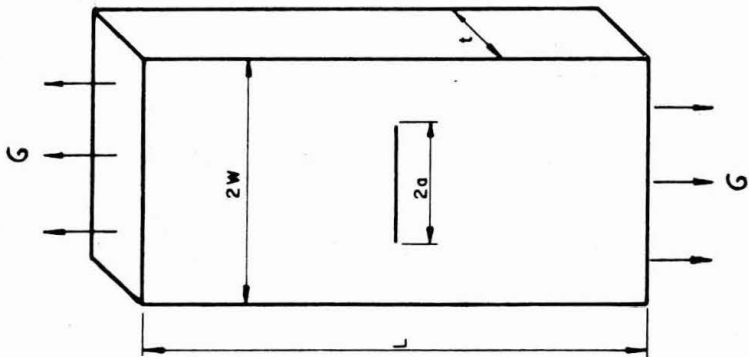


Figura 3 - Chapa Tracionada

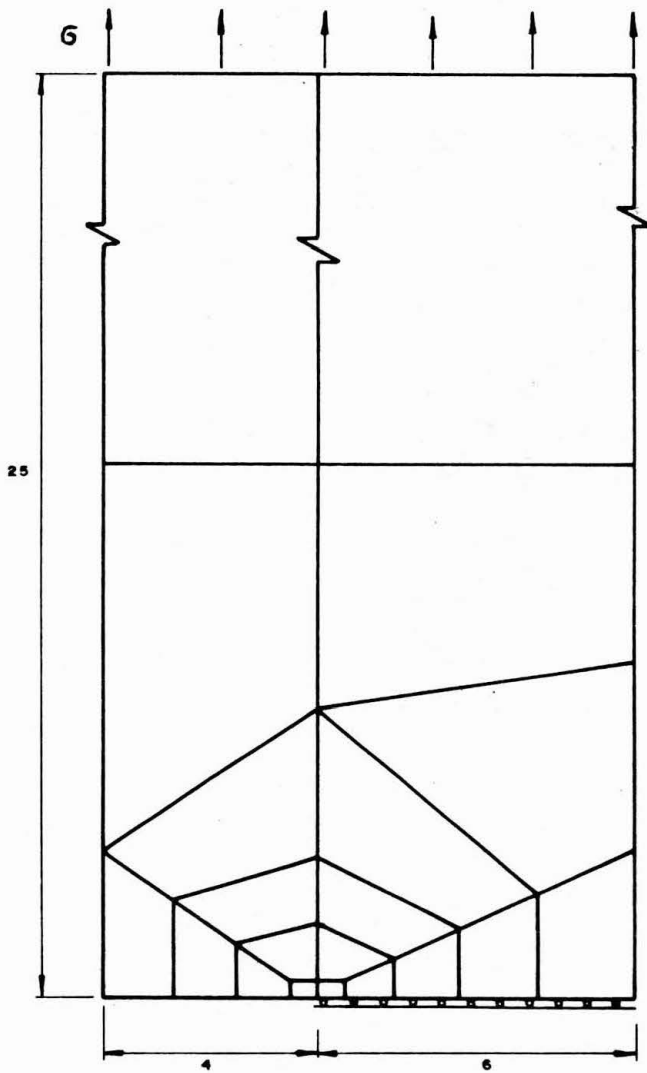


Figura 4 - Malha de Discretização da Chapa Tracionada

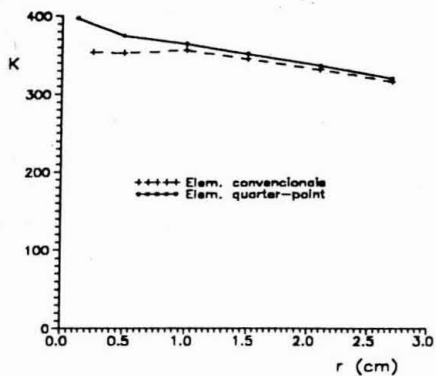


Figura 5 - Gráfico $K, \times r$ ($\theta = 180^\circ$)

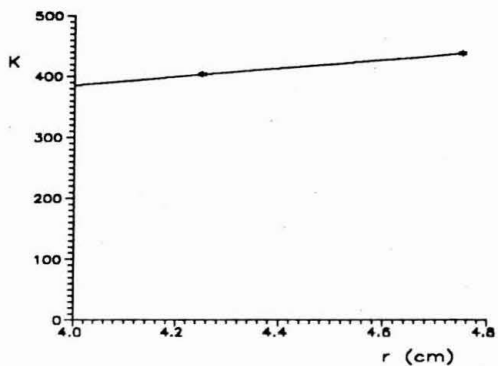


Figura 6 - Método da Taxa de Energia de Deformação Liberada

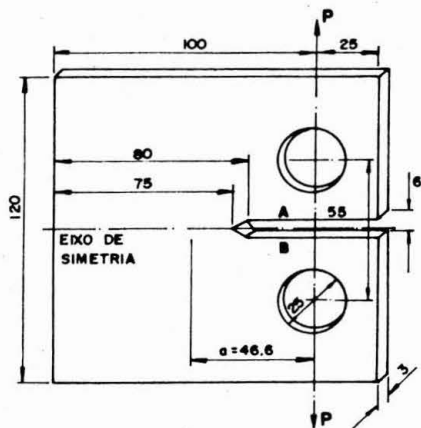


Figura 7 - Corpo de Prova Analisado

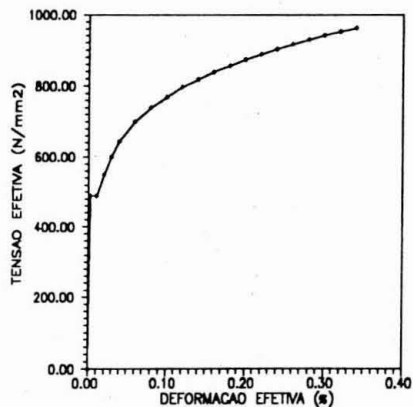


Figura 8 - Curva tensão-deformação

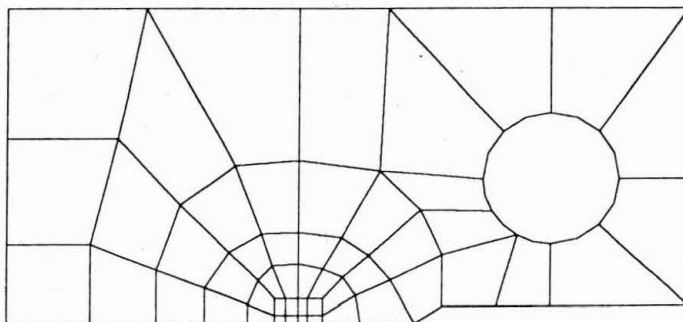


Figura 9 - Malha de Discretização do Corpo de Prova.

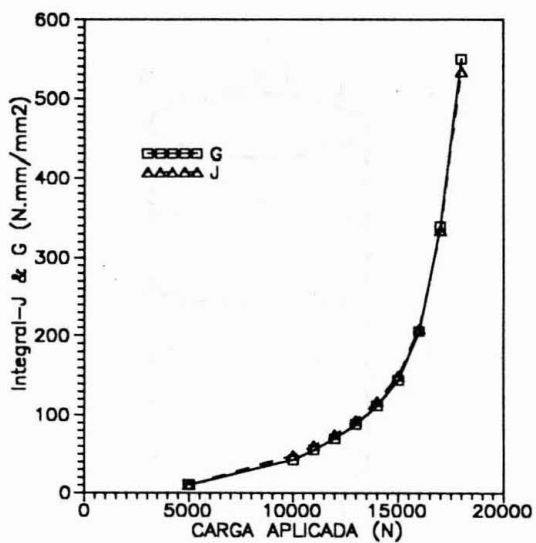


Figura 10 - Gráfico Integral J e G x Carga P

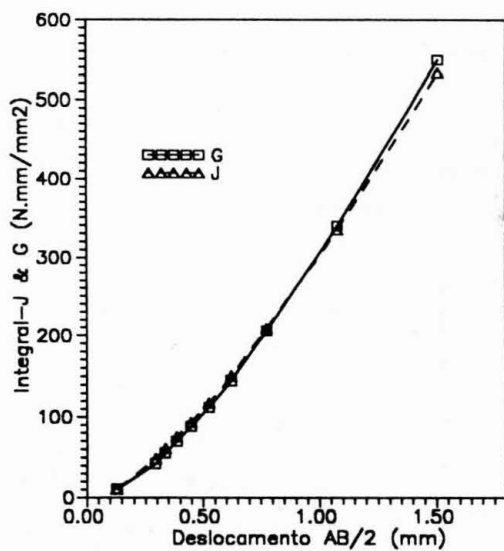


Figura 11 - Gráfico Integral J e G x $\delta_{AB} / 2$

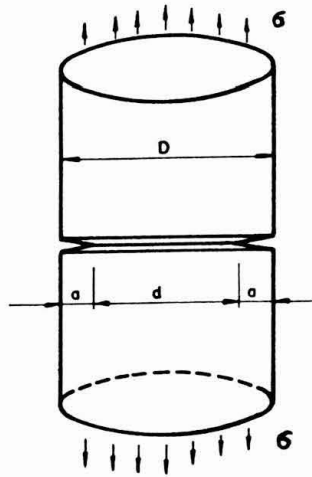


Figura 12 - Cilindro Tracionado

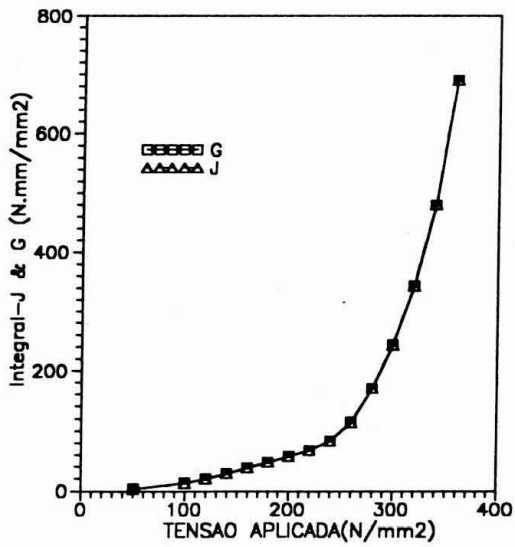


Figura 13 - Gráfico Integral J e G x Tensão Aplicada σ .

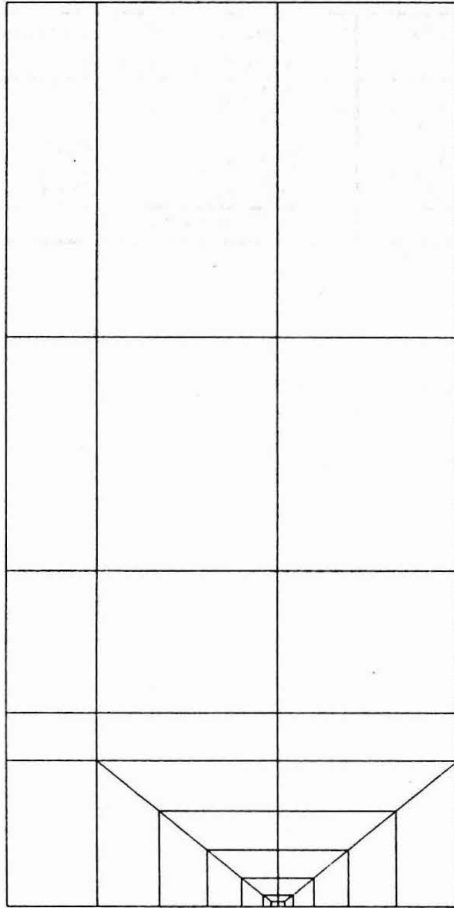


Figura 14 - Malha de Discretização do Cilindro Tracionado

Tabela 1 - Fator de Intensidade de Tensão K_I

Métodos	Elementos convencionais	Elementos <i>quarter-point</i>
M.E.D.	380.902	390.840
M.T.E.D.L.	385.333	---
M.E.V.T.	386.581	397.045
M.I.J.	390.921	388.058
Teórico	398.987	